

Prowadzący instalację:

P4 Sp. z o. o.
ul. Wynalazek 1
02-677 Warszawa

Warszawa, 31 mar 2023

Adres do korespondencji:

P4 Sp. z o. o.
ul. Wynalazek 1,
02-677 Warszawa

Urząd Miejski w Białymstoku
Departament Ochrony Środowiska

Przedłożenie informacji o zmianie danych w instalacji

o których mowa w przedłożeniu informacji dla BIA1001C z dnia 7 wrz 2021

dotyczy: informacji o zmianie w zakresie danych w przedłożeniu informacji dla BIA1001C.

Podstawa prawna: ustawa z dnia 27 kwietnia 2001 r. Prawo ochrony środowiska, art. 152, ust 6, pkt 1, lit. c)

Niniejsza informacja zawiera wyłącznie dane, które uległy zmianie.

1) Oznaczenie prowadzącego instalację, jego adres zamieszkania lub siedziby.

Brak zmian.

2) Adres zakładu, na którego terenie prowadzona jest eksploatacja instalacji.

15-874 Białystok, Poleska 89, Białystok, gm. Białystok, pow. Białystok

3) Rodzaj i zakres prowadzonej działalności, w tym wielkość produkcji lub wielkość świadczonych usług.

Usługi telekomunikacyjne, transmisja danych: 1TB/doba.

4) Czas funkcjonowania instalacji (dni tygodnia i godziny).

Brak zmian.

5) Wielkość i rodzaj emisji.

Dane przed zmianą:

L.p.	Nazwa anteny	Wysokość [m n.p.t.]	Rodzaj emisji	Równoważna moc promieniowana izotropowo	Azymut	Kąt pochylenia	Częstotliwość
------	--------------	------------------------	------------------	--	--------	-------------------	---------------

1	11_HLN	27,8	PEM	6640 W	27°	0-4°	1800 MHz
2	11_HLN	27,8	PEM	6950 W	27°	0-4°	2100 MHz
3	11_HLN	27,8	PEM	6125 W	27°	0-4°	2600 MHz
4	11_HLN	27,8	PEM	6640 W	87°	0-4°	1800 MHz
5	11_HLN	27,8	PEM	6950 W	87°	0-4°	2100 MHz
6	11_HLN	27,8	PEM	6125 W	87°	0-4°	2600 MHz
7	12_GTV	27,5	PEM	2153 W	27°	0-9°	800 MHz
8	12_GTV	27,5	PEM	1730 W	27°	0-9°	900 MHz
9	12_GTV	27,5	PEM	2153 W	87°	0-7°	800 MHz
10	12_GTV	27,5	PEM	1730 W	87°	0-7°	900 MHz
11	21_HLN	27,8	PEM	6640 W	150°	0-4°	1800 MHz
12	21_HLN	27,8	PEM	6950 W	150°	0-4°	2100 MHz
13	21_HLN	27,8	PEM	6125 W	150°	0-4°	2600 MHz
14	21_HLN	27,8	PEM	6640 W	210°	0-5°	1800 MHz
15	21_HLN	27,8	PEM	6950 W	210°	0-5°	2100 MHz
16	21_HLN	27,8	PEM	6125 W	210°	0-5°	2600 MHz
17	22_GTV	27,5	PEM	2153 W	150°	0-9°	800 MHz
18	22_GTV	27,5	PEM	1730 W	150°	0-9°	900 MHz
19	22_GTV	27,5	PEM	2153 W	210°	0-6°	800 MHz
20	22_GTV	27,5	PEM	1730 W	210°	0-6°	900 MHz
21	31_HLN	26,4	PEM	6640 W	267°	0-4°	1800 MHz
22	31_HLN	26,4	PEM	6950 W	267°	0-4°	2100 MHz
23	31_HLN	26,4	PEM	6125 W	267°	0-4°	2600 MHz
24	31_HLN	26,4	PEM	6640 W	327°	0-4°	1800 MHz
25	31_HLN	26,4	PEM	6950 W	327°	0-4°	2100 MHz
26	31_HLN	26,4	PEM	6125 W	327°	0-4°	2600 MHz
27	32_GTV	26,1	PEM	2153 W	267°	0-9°	800 MHz
28	32_GTV	26,1	PEM	1730 W	267°	0-9°	900 MHz
29	32_GTV	26,1	PEM	2153 W	327°	0-8°	800 MHz
30	32_GTV	26,1	PEM	1730 W	327°	0-8°	900 MHz
31	RL1	26,8	PEM	1413 W	223°		80 GHz

Dane po zmianie:

L.p.	Nazwa anteny	Wysokość [m n.p.t.]	Rodzaj emisji	Równoważna moc promieniowana izotropowo	Azymut	Kąt pochylenia	Częstotliwość
1	11_HLN	27,8	PEM	6501 W	27°	0-10°	1800 MHz
2	11_HLN	27,8	PEM	6950 W	27°	0-10°	2100 MHz
3	11_HLN	27,8	PEM	6125 W	27°	0-10°	2600 MHz
4	11_HLN	27,8	PEM	6501 W	87°	0-10°	1800 MHz
5	11_HLN	27,8	PEM	6950 W	87°	0-10°	2100 MHz
6	11_HLN	27,8	PEM	6125 W	87°	0-10°	2600 MHz
7	12_GTV	27,5	PEM	2153 W	27°	0-10°	800 MHz
8	12_GTV	27,5	PEM	2307 W	27°	0-10°	900 MHz
9	12_GTV	27,5	PEM	2153 W	87°	0-10°	800 MHz
10	12_GTV	27,5	PEM	2307 W	87°	0-10°	900 MHz
11	21_HLN	27,8	PEM	6501 W	150°	0-10°	1800 MHz
12	21_HLN	27,8	PEM	6950 W	150°	0-10°	2100 MHz
13	21_HLN	27,8	PEM	6125 W	150°	0-10°	2600 MHz

14	21_HLN	27,8	PEM	6501 W	210°	0-10°	1800 MHz
15	21_HLN	27,8	PEM	6950 W	210°	0-10°	2100 MHz
16	21_HLN	27,8	PEM	6125 W	210°	0-10°	2600 MHz
17	22_GTV	27,5	PEM	2153 W	150°	0-10°	800 MHz
18	22_GTV	27,5	PEM	2307 W	150°	0-10°	900 MHz
19	22_GTV	27,5	PEM	2153 W	210°	0-10°	800 MHz
20	22_GTV	27,5	PEM	2307 W	210°	0-10°	900 MHz
21	31_HLN	26,4	PEM	6501 W	267°	0-10°	1800 MHz
22	31_HLN	26,4	PEM	6950 W	267°	0-10°	2100 MHz
23	31_HLN	26,4	PEM	6125 W	267°	0-10°	2600 MHz
24	31_HLN	26,4	PEM	6501 W	327°	0-10°	1800 MHz
25	31_HLN	26,4	PEM	6950 W	327°	0-10°	2100 MHz
26	31_HLN	26,4	PEM	6125 W	327°	0-10°	2600 MHz
27	32_GTV	26,1	PEM	2153 W	267°	0-10°	800 MHz
28	32_GTV	26,1	PEM	2307 W	267°	0-10°	900 MHz
29	32_GTV	26,1	PEM	2153 W	327°	0-10°	800 MHz
30	32_GTV	26,1	PEM	2307 W	327°	0-10°	900 MHz
31	RL1	24,1	PEM	1413 W	221°		80 GHz

6) Opis stosowanych metod ograniczania wielkości emisji.

Brak zmian.

7) Informacja, czy stopień ograniczania wielkości emisji jest zgodny z obowiązującymi przepisami.

Stopień ograniczenia wielkości emisji jest zgodny z obowiązującymi przepisami.

8) (uchylony)

-/-

9) Sprawozdanie z wykonanych pomiarów poziomów pól EM, o których mowa w art. 122a ust. 1 pkt 1.

Sprawozdanie nr 73/03/OŚ/2023-P4-W z dnia 21 mar 2023, Nr akredytacji PCA – AB 1630.





Laboratorium EMVO Sp. J. Urbański, Pawelak

ul. Jasna 1
00-013 Warszawa

tel. +48 22 780 29 64
e-mail: laboratorium@emvo.pl



AB 1630

**Sprawozdanie z pomiarów pól elektromagnetycznych - środowisko
nr 73/03/OŚ/2023-P4-W**



Nr i nazwa stacji	BIA1001C	
Adres	Białystok, ul. Poleska 89, pow. Białystok, woj. podlaskie	
Opracowanie		Specjalista ds. pomiarów
Autoryzacja		Kierownik Laboratorium
Podpis		
Data	2023-03-21	

Spis treści

1. Informacje ogólne	3
2. Podstawa prawna	3
3. Opis pomiarów	3
4. Zróżnicowanie dopuszczalne poziomy pól elektromagnetycznych.....	4
5. Charakterystyka źródeł PEM.....	5
6. Wyniki pomiarów.	6
7. Stwierdzenie zgodności	8
8. Oświadczenie.....	8
9. Spis załączników.....	9

1. Informacje ogólne.

Zleceniodawca	P4 Sp. z o.o., ul. Wynałazek 1, 02-677 Warszawa osoba udzielająca informacji – [REDACTED]
Istotne informacje dostarczone przez klienta	komplet informacji niezbędnych do wykonania pomiarów i opracowania sprawozdania
Dane otrzymane od klienta mogące mieć wpływ na ważność wyników	dane anten sektorowych, dane anten radioliniowych, parametry pracy instalacji, poprawka pomiarowa
Prowadzący instalację	P4 sp. z o.o., ul. Wynałazek 1, 02-677 Warszawa
Lokalizacja obiektu	Białystok, ul. Poleska 89, pow. Białystok, woj. podlaskie
Miejsce instalacji anten	dach
Miejsce instalacji urządzeń	outdoor
Osoby wykonujące pomiar	[REDACTED]
Data wykonania pomiaru	2023-03-21
Godzina rozpoczęcia pomiaru	9.40
Godzina zakończenia pomiaru	11.00
Temperatura na początku pomiaru [°C]	8
Temperatura na koniec pomiaru [°C]	8
Warunki atmosferyczne	brak opadów
Wilgotność na początku pomiaru [%]	79
Wilgotność na koniec pomiaru [%]	79
Inne źródła pól elektromagnetycznych oznaczone na załączniku graficznym	nie występują
Parametry pracy instalacji	eksploatacyjny

2. Podstawa prawna.

2.1 Normy i rozporządzenia:

- Rozporządzeniem Ministra Klimatu z dnia 17 lutego 2020 r. w sprawie sposobów sprawdzania dotrzymania dopuszczalnych poziomów pól elektromagnetycznych w środowisku (Dz.U. 2020 poz. 258)
- Rozporządzenie Ministra Zdrowia z dnia 17 grudnia 2019 r. w sprawie dopuszczalnych poziomów pól elektromagnetycznych w środowisku (Dz.U. 2019 poz. 2448)
- Obwieszczenie Marszałka Sejmu Rzeczypospolitej Polskiej z dnia 29 września 2021 r. w sprawie ogłoszenia jednolitego tekstu ustawy - Prawo ochrony środowiska (Dz.U. 2021 poz. 1973)
- Rozporządzenie Ministra Klimatu i Środowiska z dnia 6 maja 2022 r. zmieniające rozporządzenie w sprawie sposobów sprawdzania dotrzymywania dopuszczalnych poziomów pól elektromagnetycznych w środowisku (Dz.U. 2022 poz. 1121).

3. Opis pomiarów

Metodologia pomiarowa Pomiary w oparciu o Rozporządzeniem Ministra Klimatu z dnia 17 lutego 2020 r. w sprawie sposobów sprawdzania dotrzymania dopuszczalnych poziomów pól elektromagnetycznych w środowisku (Dz.U. 2020 poz. 258) oraz Rozporządzenie Ministra Klimatu i Środowiska z dnia 6 maja 2022 r. zmieniające rozporządzenie w sprawie sposobów sprawdzania dotrzymywania dopuszczalnych poziomów pól elektromagnetycznych w środowisku (Dz.U. 2022 poz. 1121).

Cel badań Określenie wartości natężenia pola elektrycznego w miejscach dostępnych dla ludności.

Opis zestawu pomiarowego

Miernik Narda NBM 550, Sonda EF9091, o zakresie pomiarowym 0,7 V/m - 300V/m pracująca w paśmie 0,1 – 90 GHz, świadectwo wydane przez Laboratorium Wzorców i Metrologii Pola Elektromagnetycznego, Instytut Telekomunikacji, Teleinformatyki i Akustyki Politechniki Wrocławskiej. Świadectwo ważne do 10.06.2024r.

Miernik Narda NBM 550, Sonda EF9091 pracująca w zakresie temperatury -10°C +50°C oraz wilgotności 5% - 95%.

Niepewność rozszerzona 59% przy poziomie ufności 95% z uwzględnieniem współczynnika rozszerzenia k=2.

Wypożyczenie pomocnicze

Termohigrometr Termoprodukt, typ: Termik+, Nr. inwentarzowy 43/WL, nr identyfikacyjny 1530619, świadectwo wzorcowania nr 0392/AH/20 z dn. 02.03.2020 r. wydane przez Laboratorium Pomiarowe "MUTECH".

Dalmierz laserowy BOSH GLM 40, Nr. inwentarzowy 27/WL, nr seryjny 711425432, świadectwo wzorcowania L4-L41.4180.141.2018.3061.1 z dnia 12 września 2018 wydane przez Pracownia Długości Samodzielnego Laboratorium Długości w Głównym Urzędzie Miar.

GPS Garmin 64s okresowo sprawdzany w punktach osnowy geodezyjnej klasy 3 na podstawie licencji punktu, zgodnie z procedurą sprawdzeń okresowych IS/PO16-11/03.

Pomiary zostały wykonane

1. na głównych i pomocniczych kierunkach pomiarowych, na kierunkach zbliżonych do azymutów anten oraz w dodatkowych pionach pomiarowych zgodnie z wymaganiami pkt 12, 13, 14 i 19 Rozporządzenia Ministra Klimatu z dnia 17 lutego 2020 r. (Dz. U. 2020, poz. 258) oraz Rozporządzenia Ministra Klimatu i Środowiska z dnia 6 maja 2022 r. zmieniającego rozporządzenie w sprawie sposobów sprawdzania dotrzymywania dopuszczalnych poziomów pól elektromagnetycznych w środowisku (Dz.U. 2022 poz. 1121).

2. na obszarze pomiarowym, dla którego, na podstawie uprzednio przeprowadzonych obliczeń stwierdzono w miejscach dostępnych dla ludności występowanie pól elektromagnetycznych o najwyższym poziomie, które pochodzą z badanej instalacji zgodnie z wymaganiami pkt 5 ppkt 2 oraz pkt 13 ppkt 1 Rozporządzenia Ministra Klimatu z dnia 17 lutego 2020 r. w sprawie sposobów sprawdzania dotrzymywania dopuszczalnych poziomów pól elektromagnetycznych w środowisku (Dz. U. 2020, poz. 258) oraz Rozporządzenia Ministra Klimatu i Środowiska z dnia 6 maja 2022 r. zmieniającego rozporządzenie w sprawie sposobów sprawdzania dotrzymywania dopuszczalnych poziomów pól elektromagnetycznych w środowisku (Dz.U. 2022 poz. 1121). Wyniki obliczeń nie uwzględniały parametrów pracy instalacji innych operatorów występujących na obiekcie bądź w obszarze pomiarowym.

3. w miejscach dostępnych dla ludności.

4. miejsca niedostępne podczas wykonywania pomiarów wskazane zostały w pkt 6 (tabeli wyniki pomiarów).

Szczególne warunki podczas wykonywania pomiarów

Pomiary wykonane zostały podczas obowiązywania w kraju stanu zagrożenia epidemicznego, zgodnie z art. 122a ust. 1b Ustawy z dnia 27 kwietnia 2001 r. – Prawo ochrony środowiska (Dz. U. z 2019 r. poz. 1396, z późn. zm.9)

Warunki pracy urządzeń nadawczych

Tryb pracy eksploatacyjny.

4. Zróżnicowanie dopuszczalne poziomy pól elektromagnetycznych.

Zakresy znajdują się w Dzienniku Ustaw z dnia 17 grudnia 2019 r. przedstawione są w tabeli nr 2 (Dz. U. z 2019r. poz. 2448).

Zakres częstotliwości pola elektromagnetycznego	Parametr fizyczny		
	Składowa elektryczna E (V/m)	Składowa magnetyczna H (A/m)	Gęstość mocy S (W/m ²)
od 400 MHz do 2000 MHz	$1,375 \times f^{0,5}$	$0,0037 \times f^{0,5}$	f / 200
od 2 GHz do 300 GHz	61	0,16	10

„Bez pisemnej zgody Laboratorium niniejsze sprawozdanie nie może być powielane inaczej, jak tylko w całości. Ponadto wyniki dotyczą tylko badanych obiektów przywołanych w niniejszym sprawozdaniu z badań”

5. Charakterystyka źródeł PEM.

Zgodnie z informacją otrzymaną od klienta pomiary zostały wykonane przy ustawieniach pochylenia anten zgodnych z pkt. 13, ppkt 2 załącznika do rozporządzenia Ministra Klimatu z dnia 17 lutego 2020 roku.

Tabela 1. Anteny sektorowe - dane otrzymane od klienta

Charakterystyka promieniowania		kierunkowa														
Rzeczywisty czas pracy [h/dobę]		24														
Rodzaj wytwarzanego pola		stacjonarne														
Lp.	Wyszczególnienie	sektor 1					sektor 2					sektor 3				
I	Nadajnik stacji bazowej:															
1	Typ / Producent	RBS / SRAN Ericsson														
2	Częstotliwość (pasmo) MHz	900	800	2600	2100	1800	900	800	2600	2100	1800	900	800	2600	2100	1800
3	Maksymalna moc nadawana na sektor [dBm]	46,02	46,02	49,03	50	50,12	46,02	46,02	49,03	50	50,12	46,02	46,02	49,03	50	50,12
II	Obciążenie:															
1	Typ anteny	Huawei AMB4519R0		Huawei AMB4520R0			Huawei AMB4519R0		Huawei AMB4520R0			Huawei AMB4519R0		Huawei AMB4520R0		
2	Producent anteny	Huawei		Huawei			Huawei		Huawei			Huawei		Huawei		
3	Nazwa anteny	12_GTV	12_GTV	11_HLN	11_HLN	11_HLN	12_GTV	12_GTV	11_HLN	11_HLN	11_HLN	22_GTV	22_GTV	21_HLN	21_HLN	21_HLN
4	Ilość anten	1		1			1		1			1		1		
5	Azymut	27					87					150				
6	Zakres kątów pochylenia anten [°]	0,00-10,00					0,00-10,00					0,00-10,00				
7	Wysokość zainst. n.p.t. [m]	27,50		27,80			27,50		27,80			27,50		27,80		
8	EIRP [W]	4460		19576			4460		19576			4460		19576		

Charakterystyka promieniowania		kierunkowa															
Rzeczywisty czas pracy [h/dobę]		24															
Rodzaj wytwarzanego pola		stacjonarne															
Lp.	Wyszczególnienie	sektor 4					sektor 5					sektor 6					
I	Nadajnik stacji bazowej:																
1	Typ / Producent																
2	Częstotliwość (pasmo) MHz	900	800	2600	2100	1800	900	800	2600	2100	1800	900	800	2600	2100	1800	
3	Maksymalna moc nadawana na sektor [dBm]	46,02	46,02	49,03	50	50,12	46,02	46,02	49,03	50	50,12	46,02	46,02	49,03	50	50,12	
II	Obciążenie:																
1	Typ anteny	Huawei AMB4519R0			Huawei AMB4520R0			Huawei AMB4519R0			Huawei AMB4520R0			Huawei AMB4520R0			
2	Producent anteny	Huawei			Huawei			Huawei			Huawei			Huawei			
3	Nazwa anteny	22_GTV	22_GTV	21_HLN	21_HLN	21_HLN	32_GTV	32_GTV	31_HLN	31_HLN	31_HLN	32_GTV	32_GTV	31_HLN	31_HLN	31_HLN	
4	Ilość anten	1		1			1		1			1		1			
5	Azymut	210					267					327					
6	Zakres kątów pochylenia anten [°]	0,00-10,00					0,00-10,00					0,00-10,00					
7	Wysokość zainst. n.p.t. [m]	27,50		27,80			26,10		26,40			26,1		26,4			
8	EIRP [W]	4460			19576			4460		19576			4460		19576		

Tabela 2. Anteny radioliniowe - dane otrzymane od klienta

Charakterystyka promieniowania				kierunkowa			
Rzeczywisty czas pracy [h/dobę]				24			
Rodzaj wytwarzanego pola				stacjonarne			
Lp.	Linia radiowa			Antena			
	typ/producent	częstotliwość pracy [GHz]	moc wyjściowa [dBm]	typ/producent	średnica anteny [m]	azymut [°]	wysokość zainstalowania n.p.t. [m] (środek elektryczny anteny)
1	OPTIX RTN/HUAWEI	80	18	VHLP1-80/Andrew	0,3	221	24,10

6. Wyniki pomiarów.

Wyniki pomiarów pól elektromagnetycznych dla celów ochrony środowiska przedstawia poniższa tabela. Piony pomiarowe zostały przedstawione w zał. 2.

Nr PP	Pole-E [V/m]	Pole-E+U [V/m]	Pole-H [A/m]	Pole-H+U [A/m]	Wysokość pomiaru [m]	Współrzędne PP x, y	Opis PP	WM _E	WM _H
1	0,8	1,27	0,002	0,003	0,3 - 2,0	53°8'18.41" N 23°8'41.26" E	otoczenie stacji bazowej - 100 m wzdłuż gł. osi promieniowania - GKP	0,046	0,046
2	0,8	1,27	0,002	0,003	0,3 - 2,0	53°8'19.81" N 23°8'42.6" E	otoczenie stacji bazowej - 150 m wzdłuż gł. osi promieniowania - GKP	0,046	0,046
3	0,9	1,43	0,002	0,004	0,3 - 2,0	53°8'21.21" N 23°8'43.95" E	otoczenie stacji bazowej - 200 m wzdłuż gł. osi promieniowania - GKP	0,052	0,052
4	0,9	1,43	0,002	0,004	0,3 - 2,0	53°8'23.4" N 23°8'46.05" E	otoczenie stacji bazowej - 278 m wzdłuż gł. osi promieniowania - GKP	0,052	0,052
5	0,8	1,27	0,002	0,003	0,3 - 2,0	53°8'15.61" N 23°8'41.26" E	otoczenie stacji bazowej - 50 m wzdłuż gł. osi promieniowania - GKP	0,046	0,046
6	0,8	1,27	0,002	0,003	0,3 - 2,0	53°8'15.61" N 23°8'43.95" E	otoczenie stacji bazowej - 100 m wzdłuż gł. osi promieniowania - GKP	0,046	0,046

„Bez pisemnej zgody Laboratorium niniejsze sprawozdanie nie może być powielane inaczej, jak tylko w całości. Ponadto wyniki dotyczą tylko badanych obiektów przywołanych w niniejszym sprawozdaniu z badań”

Nr PP	Pole-E [V/m]	Pole-E+U [V/m]	Pole-H [A/m]	Pole-H+U [A/m]	Wysokość pomiaru [m]	Współrzędne PP x, y	Opis PP	WM _E	WM _H
7	0,8	1,27	0,002	0,003	0,3 - 2,0	53°8'15.61" N 23°8'46.64" E	otoczenie stacji bazowej - 150 m wzdłuż gł. osi promieniowania - GKP	0,046	0,046
8	0,9	1,43	0,002	0,004	0,3 - 2,0	53°8'15.61" N 23°8'49.33" E	otoczenie stacji bazowej - 200 m wzdłuż gł. osi promieniowania - GKP	0,052	0,052
9	0,8	1,27	0,002	0,003	0,3 - 2,0	53°8'14.17" N 23°8'39.79" E	otoczenie stacji bazowej - 50 m wzdłuż gł. osi promieniowania - GKP	0,046	0,046
10	0,9	1,43	0,002	0,004	0,3 - 2,0	53°8'12.73" N 23°8'41.01" E	otoczenie stacji bazowej - 100 m wzdłuż gł. osi promieniowania - GKP	0,052	0,052
11	0,9	1,43	0,002	0,004	0,3 - 2,0	53°8'11.29" N 23°8'42.23" E	otoczenie stacji bazowej - 150 m wzdłuż gł. osi promieniowania - GKP	0,052	0,052
12	0,8	1,27	0,002	0,003	0,3 - 2,0	53°8'9.85" N 23°8'43.45" E	otoczenie stacji bazowej - 200 m wzdłuż gł. osi promieniowania - GKP	0,046	0,046
13	0,8	1,27	0,002	0,003	0,3 - 2,0	53°8'7.6" N 23°8'45.36" E	otoczenie stacji bazowej - 278 m wzdłuż gł. osi promieniowania - GKP	0,046	0,046
14	0,8	1,27	0,002	0,003	0,3 - 2,0	53°8'14.25" N 23°8'37.11" E	otoczenie stacji bazowej - 50 m wzdłuż gł. osi promieniowania - GKP	0,046	0,046
15	0,8	1,27	0,002	0,003	0,3 - 2,0	53°8'12.9" N 23°8'35.64" E	otoczenie stacji bazowej - 100 m wzdłuż gł. osi promieniowania - GKP	0,046	0,046
16	0,9	1,43	0,002	0,004	0,3 - 2,0	53°8'10.18" N 23°8'32.71" E	otoczenie stacji bazowej - 200 m wzdłuż gł. osi promieniowania - GKP	0,052	0,052
17	0,8	1,27	0,002	0,003	0,3 - 2,0	53°8'8.07" N 23°8'30.43" E	otoczenie stacji bazowej - 278 m wzdłuż gł. osi promieniowania - GKP	0,046	0,046
18	0,8	1,27	0,002	0,003	0,3 - 2,0	53°8'15.56" N 23°8'35.09" E	otoczenie stacji bazowej - 50 m wzdłuż gł. osi promieniowania - GKP	0,046	0,046
19	0,8	1,27	0,002	0,003	0,3 - 2,0	53°8'15.56" N 23°8'32.4" E	otoczenie stacji bazowej - 100 m wzdłuż gł. osi promieniowania - GKP	0,046	0,046
20	0,8	1,27	0,002	0,003	0,3 - 2,0	53°8'15.56" N 23°8'27.02" E	otoczenie stacji bazowej - 200 m wzdłuż gł. osi promieniowania - GKP	0,046	0,046
21	0,9	1,43	0,002	0,004	0,3 - 2,0	53°8'15.56" N 23°8'22.83" E	otoczenie stacji bazowej - 278 m wzdłuż gł. osi promieniowania - GKP	0,052	0,052
22	0,8	1,27	0,002	0,003	0,3 - 2,0	53°8'16.96" N 23°8'36.44" E	otoczenie stacji bazowej - 50 m wzdłuż gł. osi promieniowania - GKP	0,046	0,046
23	0,8	1,27	0,002	0,003	0,3 - 2,0	53°8'18.36" N 23°8'35.09" E	otoczenie stacji bazowej - 100 m wzdłuż gł. osi promieniowania - GKP	0,046	0,046
24	0,9	1,43	0,002	0,004	0,3 - 2,0	53°8'21.16" N 23°8'32.4" E	otoczenie stacji bazowej - 200 m wzdłuż gł. osi promieniowania - GKP	0,052	0,052
25	0,9	1,43	0,002	0,004	0,3 - 2,0	53°8'23.35" N 23°8'30.3" E	otoczenie stacji bazowej - 278 m wzdłuż gł. osi promieniowania - GKP	0,052	0,052
26	0,8	1,27	0,002	0,003	0,3 - 2,0	53°8'14.4" N 23°8'35.91" E	otoczenie stacji bazowej - 50 m wzdłuż gł. osi promieniowania - GKP	0,046	0,046
27	0,8	1,27	0,002	0,003	0,3 - 2,0	53°8'13.23" N 23°8'34.04" E	otoczenie stacji bazowej - 100 m wzdłuż gł. osi promieniowania - GKP	0,046	0,046
A	0,8	1,27	0,002	0,003	0,3 - 2,0	53°8'16.6" N 23°8'39.7" E	ul. Poleska 87 - DPP	0,046	0,046
B	0,9	1,43	0,002	0,004	0,3 - 2,0	53°8'15.3" N 23°8'47.7" E	ul. Artyleryjska 9 - DPP	0,052	0,052
C	0,8	1,27	0,002	0,003	0,3 - 2,0	53°8'15.5" N 23°8'50.6" E	ul. Proletariacka 2a - DPP	0,046	0,046
D	0,8	1,27	0,002	0,003	0,3 - 2,0	53°8'15.7" N 23°8'53.2" E	ul. Żabia 3 - DPP	0,046	0,046
E	0,9	1,43	0,002	0,004	0,3 - 2,0	53°8'12.1" N 23°8'42.0" E	ul. Botaniczna 6 - DPP	0,052	0,052
F	0,8	1,27	0,002	0,003	0,3 - 2,0	53°8'10.7" N 23°8'42.6" E	ul. Dąbrowskiego 16a - DPP	0,046	0,046
G	0,8	1,27	0,002	0,003	0,3 - 2,0	53°8'11.7" N 23°8'34.5" E	ul. Dąbrowskiego 26 - DPP	0,046	0,046

Nr PP	Pole-E [V/m]	Pole-E+U [V/m]	Pole-H [A/m]	Pole-H+U [A/m]	Wysokość pomiaru [m]	Współrzędne PP x, y	Opis PP	WM _E	WM _H
H	0,9	1,43	0,002	0,004	0,3 - 2,0	53°8'11.8" N 23°8'34.3" E	ul. Dąbrowskiego 28 - DPP	0,052	0,052
I	0,9	1,43	0,002	0,004	0,3 - 2,0	53°8'13.1" N 23°8'38.4" E	ul. Botaniczna 9a - DPP	0,052	0,052
J	0,8	1,27	0,002	0,003	0,3 - 2,0	53°8'12.1" N 23°8'34.2" E	ul. Dąbrowskiego 28b- DPP	0,046	0,046
K	0,8	1,27	0,002	0,003	0,3 - 2,0	53°8'12.2" N 23°8'32.8" E	ul. Dąbrowskiego 28a- DPP	0,046	0,046
L	0,8	1,27	0,002	0,003	0,3 - 2,0	53°8'15.8" N 23°8'27.8" E	ul. Knyszyńska 12a - DPP	0,046	0,046
M	0,9	1,43	0,002	0,004	0,3 - 2,0	53°8'21.1" N 23°8'33.2" E	ul. Wysoka 1 - DPP	0,052	0,052

Wynik pomiaru pole - E [V/m] - maksymalna wartość chwilowa zmierzona w danym pionie pomiarowym (uśredniona na podstawie punktu 11 załącznika do Rozporządzenia Ministra Klimatu z dnia 17 lutego 2020 r. w sprawie sposobów sprawdzania dotrzymania dopuszczalnych poziomów pól elektromagnetycznych w środowisku (Dz.U. 2020 poz. 258, Dz.U. 2022 poz. 1121)). Zgodnie z pkt. 7 załącznika do Rozporządzenia Ministra Klimatu z dnia 17 lutego 2020 r. w sprawie sposobów sprawdzania dotrzymania dopuszczalnych poziomów pól elektromagnetycznych w środowisku (Dz.U. 2020 poz. 258, Dz.U. 2022 poz. 1121) nie stosuje się poprawek pomiarowych.

Przyjęto najniższą dopuszczalną wartość składowej elektrycznej pola dla objętego pomiarami zakresu częstotliwości $\min(ME_{gr}) = 28 \text{ V/m}$ oraz składowej magnetycznej $\min(MH_{gr}) = 0,073 \text{ A/m}$.

* - wartość zmierzona poniżej zakresu akredytacji. Do obliczeń przyjęto wartość zgodną z dolną granicą akredytowanego zakresu pomiarowego metody.

GKP - główne kierunki pomiarowe

PKP - pomocnicze kierunki pomiarowe

DPP - dodatkowe punkty pomiarowe

PP - pion pomiarowy

U - niepewność pomiarowa rozszerzona, przy poziomie ufności 95%, z uwzględnieniem współczynnika rozszerzenia $k=2$

WM_E - wartość wskaźnikowa poziomu emisji pól elektromagnetycznych dla miejsc dostępnych dla ludności dla składowej elektrycznej pola

WM_H - wartość wskaźnikowa poziomu emisji pól elektromagnetycznych dla miejsc dostępnych dla ludności dla składowej magnetycznej pola

7. Stwierdzenie zgodności

Na podstawie wytycznych podanych w Rozporządzeniu Ministra Zdrowia z dnia 17 grudnia 2019 r. w sprawie dopuszczalnych poziomów pól elektromagnetycznych w środowisku (Dz.U. 2019 poz. 2448) oraz sposobów sprawdzania dotrzymania tych poziomów zgodnie z Rozporządzeniem Ministra Klimatu z dnia 17 lutego 2020 r. w sprawie sposobów sprawdzania dotrzymania dopuszczalnych poziomów pól elektromagnetycznych w środowisku (Dz.U. 2020 poz. 258) oraz Rozporządzeniem Ministra Klimatu i Środowiska z dnia 6 maja 2022 r. zmieniającego rozporządzenie w sprawie sposobów sprawdzania dotrzymania dopuszczalnych poziomów pól elektromagnetycznych w środowisku (Dz.U. 2022 poz. 1121), dotyczących źródła wymagań, które muszą być spełnione, w oparciu o zasadę podejmowania decyzji zgodną z pkt. 26 Rozporządzenia Ministra Klimatu z dnia 17 lutego 2020 r. (Dz.U. 2020 poz. 258), na podstawie wyników pomiarów pól elektromagnetycznych wykonanych w dniu 2023-03-21 stwierdzono, że wszystkie wyniki przeprowadzonych pomiarów w danym obszarze pomiarowym oraz wyznaczone na tej podstawie wskaźniki WME oraz WMH są mniejsze od wartości dopuszczalnych – zgodnie z przepisami wydanymi na podstawie art. 122 ust. 1 ustawy z dnia 27 kwietnia 2001 r. – Prawo ochrony środowiska – załącznikiem do Rozporządzenia Ministra Klimatu i Środowiska z dnia 17 lutego 2020 r. w sprawie sposobów sprawdzania dotrzymania dopuszczalnych poziomów pól elektromagnetycznych w środowisku (Dz.U. 2020 poz. 258, pkt 26).

8. Oświadczenie.

Wyniki badania odnoszą się wyłącznie do badanego obiektu.

Bez pisemnej zgody sprawozdanie nie może być powielane inaczej, jak tylko w całości.

Uwagi i zastrzeżenia przyjmowane są w formie pisemnej.

9. Spis załączników.

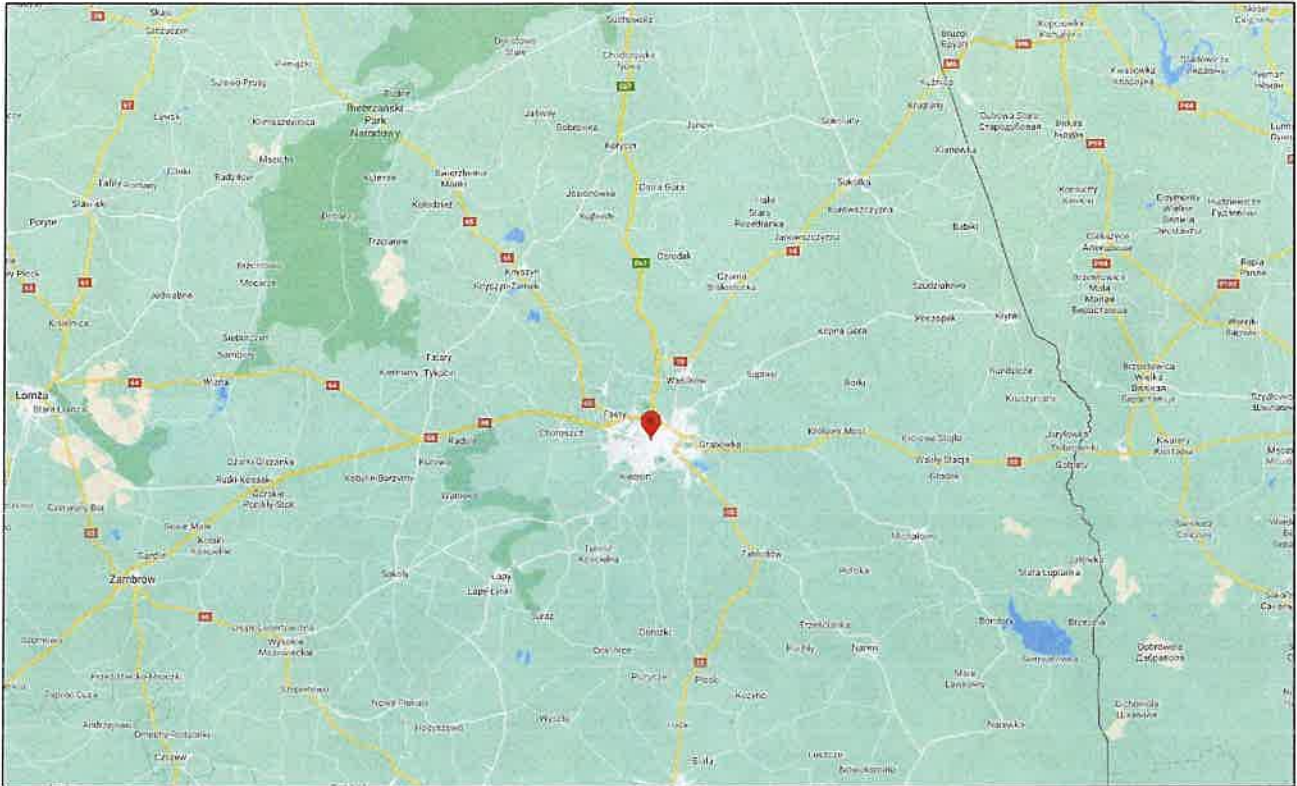
Załącznik 1. Lokalizacja obiektu.

Załącznik 2. Widok pionów pomiarowych

Załącznik 3. Widok stacji bazowej

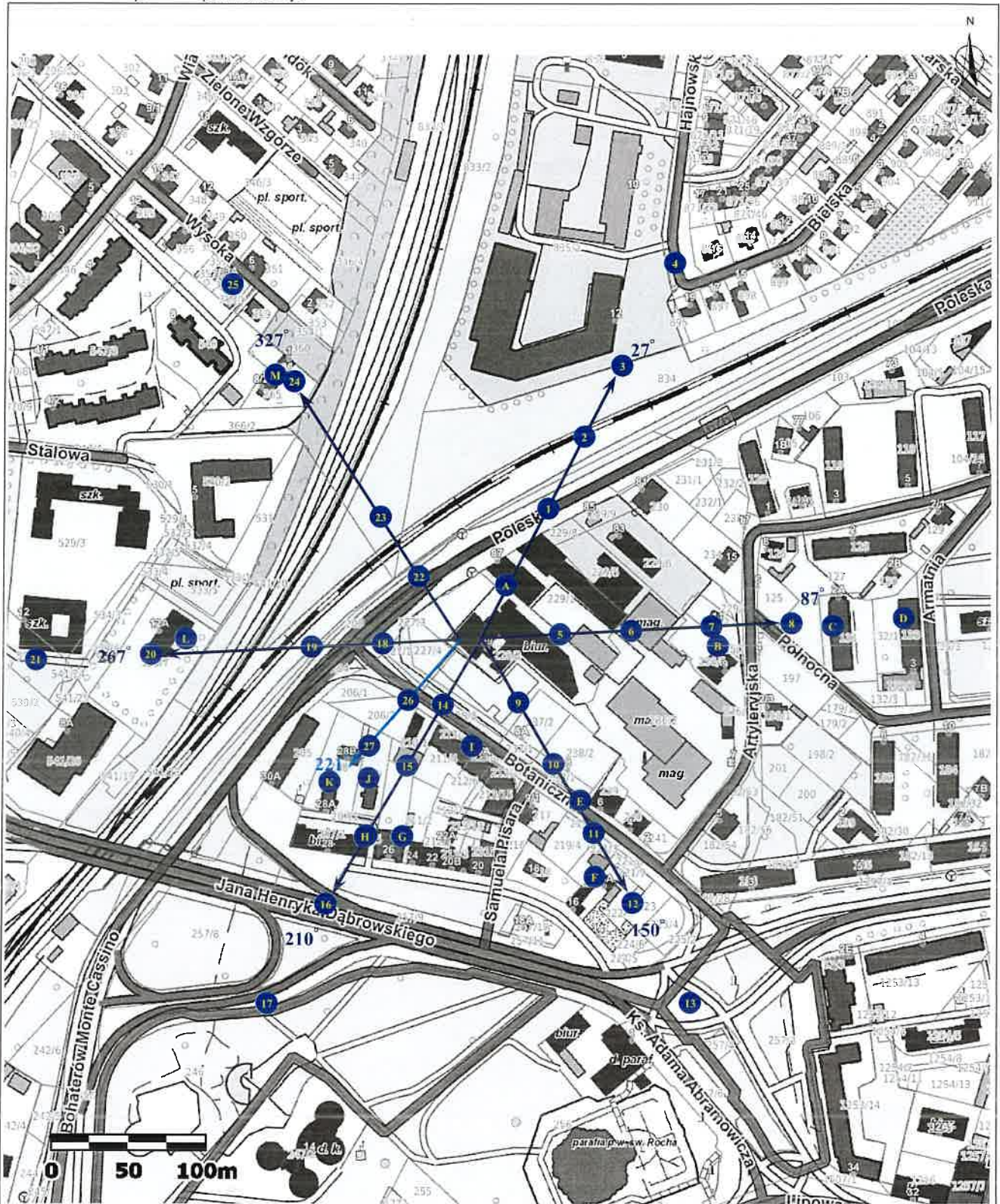
Koniec sprawozdania

Załącznik 1. Lokalizacja obiektu








Współrzędne geograficzne	
szerokość:	53°08'15.65"N
długość:	23°08'38.27"E

Załącznik 2. Widok pionów pomiarowych



LEGENDA:

-  inna instalacja radiokomunikacyjna
-  brak dostępu
-  pion pomiarowy
-  antena sektorowa
-  antena radioliniowa

Skala 1: 2500

„Bez pisemnej zgody Laboratorium niniejsze sprawozdanie nie może być powielane inaczej, jak tylko w całości. Ponadto wyniki dotyczą tylko badanych obiektów przywołanych w niniejszym sprawozdaniu z badań”
73/03/OŚ/2023-P4-W

Zał. 3. Załączniki graficzne

